

# 몇 가지 $^{99m}$ Tc 即席標識킷트 製造를 爲한 實驗研究

韓國에너지研究所

金載祿 · 吳玉斗 · 具賢淑 · 朴敬培

=Abstract=

## Experimental Studies on the Preparation of Some $^{99m}$ Tc Instant Labelling Kits

Jae-Rok Kim, Ok-Doo Awh, Hyeon Sook Koo and Kyung-Bae Park,

Korea Advanced Energy Research Institute

Using stannous chloride, optimum conditions for  $^{99m}$ Tc labelling of some scanning agents such as phytic acid(PA), dimercaptosuccinic acid(DMSA), and calcium diethylenetriaminepentaacetate(Ca-DPTA) were established. Methods of separation and identification of the labelled compounds were practiced by a paper- or thin layer- chromatography. Biodynamic studies of the compounds were also carried out.

The results indicate that the molar ratios of the chelating agent and stannous chloride varies only with the concentrations of the chelating agents, and thus the amounts of the stannous chloride per labelling tube were nearly constant(500~600  $\mu$ g) regardless the variation of the molar ratios. It suggests that the given experimental conditions require about 500  $\mu$ g of stannous chloride regardless of the chelating agents. Under alkaline pH, the labelling yields were drastically decreased due to the probable formation of colloidal tin compounds. Biodynamic data showed characteristic patterns with each compound indicating that they are all suitable for the relevant scanning applications.

### 序論

鹽化第1朱錫( $SnCl_2$ )에 依한  $^{99m}$ TcO<sub>4</sub><sup>-</sup>의 還元으로  $^{99m}$ Tc의 酸化狀態를 낮추어 標識하는 方法에서  $Sn$ 이  $^{99m}$ Tc<sup>7+</sup>를 還元하는 作用以外에도 錫化合物 形成에 直接參與하여 生成錫化合物의 安定化에 寄與하느나의 與否로 論難되고 있으며<sup>1~6)</sup> 또 이 方法으로 即席標識킷트를 製造할 境遇 chelating agent와  $Sn$ 의 몰比率에 따라서 킷트當  $Sn$ 量이 問題되기도 한다.  $Sn$ 量이 過少하면  $^{99m}$ Tc<sup>7+</sup>의 還元力弱화로 킷트保存期間이 短縮되는 反面  $Sn$ 이 過量이면 킷트有効保存期間은 길어지나 그 킷트內容物이 患者에게 投與될 경우 有害하며 또 不溶性 콜로이드를 形成함에 따라 還元된  $^{99m}$ Tc<sup>4+</sup>가 콜로이드에 吸着되어 肝臟에 集積함으로 肝을 中心으로 한 内部臟器의 選擇 imaging 을 防害하기도 한다<sup>7,8)</sup>.

한편 여러가지 水溶性  $^{99m}$ Tc 錫化合物들의 分離確認方法에 關한 뚜렷한 方法이 없어 85% MeOH 와 0.85% NaCl을 各各 使用하는 종이크로마토그래피(PC)<sup>8~10)</sup>나 잔편 얇은 박 크로마토그래피(ITLC)<sup>11~13)</sup>를 혼히 實시하고 있다. 그러나 이 方法들이 모든  $^{99m}$ Tc 錫化合物 分離確認에 通用될 수 있는지는 確實하지 않다.

그리고 錫化合物 生成收得率도 높은 pH領域에서 더 클것으로 期待할 수 있으나 實際 大部分 酸性 pH下에서 標識反應하는 것으로 알려져 있다. 酸性下에서는  $SnCl_2$ 의 溶解度增加로 말미암아 콜로이드 生成率이減少되는 結果,  $^{99m}$ Tc<sup>4+</sup>의 吸着率도 작아져서 標識收得率이 相對的으로 增加하리라는 推論도 可能하다.

$Sn$ 量, 錫化劑와  $Sn$ 의 몰比率, pH, 分離確認方法等 不確實한 事實들의 解明을 爲하여 Ca-DTPA(calciun diethylenetriaminepentaacetate), PA(phytic acid), DMSA(2,3-dimercaptosuccinic acid)等 醫療의 價値

를 가진 3種 化合物에 對한  $^{99m}\text{Tc}$  標識反應을 為한 諸因子 調節實驗, 分離確認 및 動物體內 分布實驗等을 違行하였기에 그 結果를 報告한다.

## 實 驗

### 1) 器具 및 材料

- $\gamma$ 計測器; Polyspec research spectrometer, Baird Atomic. U.S.A.
- 아르곤(Ar); 99.99%, Tokachiho Co., Japan.
- Ar充填水: 蒸溜水를 10分以上 끓인 다음 冷却過程中에서 Ar을 흘려넣어(Ar gas bubbling) 酸素代身 Ar이 溶存도록한 물.
- 피틴酸(phytic acid, PA); inositolhexaphosphoric acid, type V, >97%, Sigma, U.S.A.
- 칼슘 DTPA(calcium diethylenetriaminepentaacetate, Ca-DTPA): >97%, Aldrich, U.S.A.의 DTPA를 生石灰水로 pH 4까지 滴定, 蒸發乾固한 것.
- 베소-2,3-디머카토 succinic acid(meso-2,3-dimercapto-succinic acid, DMSA), 90~95%, Sigma, U.S.A.
- $\text{SnCl}_2 \cdot 2\text{H}_2\text{O}$ ; G.R., Merck.
- ITLC板; Silica gel S.G., Gelman. U.S.A.
- 크로마토그래피 종이; Whatman No.1.

### 2) 實驗方法

(1) 標識反應: Ca-DTPA, PA, DMSA 등의 一定濃度 水溶液을 Ar充填水를 使用하여 Ar氣流를 흘리면서 만들었으며 같은 方法으로 一定濃度의  $\text{SnCl}_2 \cdot 2\text{H}_2\text{O}$  水溶液도 만들었다.  $\text{SnCl}_2 \cdot 2\text{H}_2\text{O}$ 의 水溶液을 만들 때에는 먼저  $\text{SnCl}_2 \cdot 2\text{H}_2\text{O}$ 를 약 0.1 ml의 濃鹽酸에 녹인 후 물로 稀釋토록 하였다. 이 chelating agent 水溶液과  $\text{SnCl}_2$ 溶液을 Table 1의 몰比率이 되게 각각 混合하고 pH를 調節한 다음 滯騰水浴에서 約 10分間 加熱하였다(DMSA의 境遇에는 加熱하지 않음).

1 ml容積내에 Table 1에 表示된 試藥量이 각각 包含되도록 부피를 調節한 다음 1 ml 씩 分取하여 冷凍乾燥하였다.

(2) 標識生成物 分離確認: 85%메탄올과 0.85% NaCl水溶液을 각각 使用하는 종이크로마토그래피(PC)나 간편 얇은 층 크로마토그래피(ITLC)를 實施하여 分離한 다음 1 cm 간격으로 切斷하여 각 切斷片의 放射能을 計測하고 全體 放射能에 對한 主生成物 피-크의 放射能 百分率로부터 標識收得率를 求하였다.

(3) 動物體內 分布狀態 確認實驗: 放射化學的純度가

높은 各 標識生成物 約 20  $\mu\text{l}$  ( $\approx 20\mu\text{Ci}$ )를 靜脈 또는 腹腔에 注射하고 一定時間 經過後 各 臟器를 摘出하여 放射能을 計測하였다.

## 實驗結果 및 討議

### 1) 標識反應 및 收得率

Table 1에서 보는 바와 같이 PA는 Ca-DTPA에 比 해서 標識收率이 낮다. 即 바이 알當 PA量(57  $\mu\text{mole}$ )은 Ca-DTPA(23  $\mu\text{mole}$ )에 比해 2倍以上이며 또  $\text{SnCl}_2$ 量은 비슷한데도 PA 標識收率이 낮다. 이와같은 事實은 chelating agent 自體의 性質이  $\text{SnCl}_2$ 의 量이나 chelating agent 와  $\text{SnCl}_2$ 의 몰比率보다 크게 影響을 미친다는 것을 意味한다. 實際로 DTPA는 強力한 chelating agent로 認知되 있으며 分子構造도 PA에 比해 錫化合物 形成이 有利할 것으로 본다.

DMSA와 PA를 각각 5.4  $\mu\text{mole}$  씩 쓰고 이들 chelating agent 와  $\text{SnCl}_2$ 의 몰比率를 18:1~20:1로 하여 反應시킬 때에 DMSA 標識收率은 70%로써 PA의 38%보다 높다. 따라서 이들 세 가지 化合物의 最適 pH에서의  $\text{SnCl}_2$ 에 依한 標識收率이 높은順序는 Ca-DTPA > DMSA > PA이며 그分子構造로 본豫想과 一致한다. 標識收率이 95~100% 때의 chelating agent 와  $\text{SnCl}_2$ 의 몰比率은 Ca-DTPA:  $\text{SnCl}_2$  = 640:1, PA:  $\text{SnCl}_2$  = 1000:1, DMSA:  $\text{SnCl}_2$  = 3:1로써 바이 알當 chelating agent의 濃度와  $\text{SnCl}_2$ 의 몰比가 反比例하였다.

Chelating agent의 溶液濃度가 작으면 相對的으로  $\text{SnCl}_2$ 의 몰數가 增加되는데 이 때 그 몰比率만이 달라질뿐 ml當 또는 바이 알當  $\text{SnCl}_2$ 의 絶對量이 增加되는 것은 아니다. 實際로 DMSA의 경우와 같이 몰比率이 3:1이라도 chelating agent인 DMSA의濃度가 작아  $\text{SnCl}_2$ 의 바이 알當 絶對量은 412  $\mu\text{g}$ , PA 때는 670  $\mu\text{g}$ , Ca-DTPA 때에는 500  $\mu\text{g}$  등 큰 差異가 없다.

바이 알當  $\text{SnCl}_2$ 量이 1300  $\mu\text{g}$ ~1500  $\mu\text{g}$ 의範圍까지 增加하더라도 이 程度의 增加로는 收率減少가 일어나지 않았다.  $^{99m}\text{Tc}^{4+}$ 는 chelating agent에 標識되는 것과 콜로이드에 對한 吸着이 競爭的으로 일어난다고 생각되므로 錫化能力이 弱한 chelating agent가  $\text{SnCl}_2$ 와 함께 친한濃度로 存在할 때에만 相對的으로  $\text{SnOCl}_2$ 等 콜로이드 生成이 많아 標識收率이 떨어진다고 생각된다.

Table 1에서 chelating agent 와  $\text{SnCl}_2$ 의 몰比率 差異는 chelating agent의 濃度差에 비롯된 것이며,  $\text{Sn}^{2+}$ 나  $\text{Sn}^{4+}$ 가  $^{99m}\text{Tc}^{4+}$ 와 共參한 錫化合物이 생긴다는

Table 1. Variation of Labelling Yields with the Amounts of Chelating Agents and Stannous Chloride

| pH      | Chelating agents* |       | $\text{SnCl}_2 \cdot 2\text{H}_2\text{O}^*$ |       | Molar ratios<br>chl. agt: $\text{SnCl}_2$ | Labelling yield (%) |
|---------|-------------------|-------|---|-------|---|---------------------|
|         | ug                | umole | ug  | umole |   |                     |
| Ca-DPTA |                   |       |   |       |   |                     |
| 4.0     | 10,000            | 23    | 1520  | 6.6   | 3.5:1                                     | 100#                |
|         | 10,000            | 23    | 500   | 2.2   | 10.5:1                                    | 100                 |
|         | 10,000            | 23    | 50  | 0.22  | 115:1                                     | 100                 |
|         | 10,000            | 23    | 24  | 0.10  | 230:1                                     | 99                  |
|         | 10,000            | 23    | 12  | 0.05  | 640:1                                     | 97                  |
|         | 10,000            | 23    | 2.4   | 0.01  | 2300:1                                    | 91                  |
| PA      |                   |       |   |       |   |                     |
| 5.0     | 33,000            | 57    | 1300  | 6     | 10:1                                      | 100##               |
|         | 33,000            | 57    | 670   | 3     | 20:1                                      | 100                 |
|         | 33,000            | 57    | 67  | 0.3   | 200:1                                     | 98                  |
|         | 33,000            | 57    | 13.4  | 0.06  | 1000:1                                    | 95                  |
|         | 33,000            | 57    | 6.7   | 0.03  | 2000:1                                    | 84                  |
|         | 33,000            | 57    | 3.4   | 0.02  | 4000:1                                    | 70                  |
|         | 33,000            | 57    | 0.7   | 0.01  | 20000:1                                   | 10                  |
| PA      |                   |       |   |       |   |                     |
| 5.0     | 313               | 5.4   | 120   | 0.54  | 10:1                                      | 60##                |
|         | 313               | 5.4   | 60  | 0.27  | 20:1                                      | 38                  |
|         | 313               | 5.4   | 12  | 0.05  | 100:1                                     | 12                  |
|         | 313               | 5.4   | 1.2   | 0.005 | 1000:1                                    | 4                   |
| DMSA    |                   |       |   |       |   |                     |
| 2.5     | 1,000             | 5.4   | 412   | 1.8   | 3:1                                       | 95** (40)           |
|         | 1,000             | 5.4   | 165   | 0.7   | 8:1                                       | 80 (18)             |
|         | 1,000             | 5.4   | 82  | 0.3   | 18:1                                      | 70 ( 5 )            |
|         | 1,000             | 5.4   | 16  | 0.06  | 90:1                                      | 65 ( 0 )            |

# PC, 85% MeOH & 0.85% NaCl

## ITLC, 85% MeOH & 0.85% NaCl

\* Quantity per labelling vial

\*\* Determined by an ITLC using acetone as a developing solvent. The numbers in the parentheses are the yields determined by an ITLC using 85% MeOH and 0.85% NaCl as developing solvents.

結論을 내리기는 困難하다. 그 理由는 各バイ알當添加하는  $^{99m}$ Tc의 放射能이 거의 一定( $500 \mu\text{Ci} \sim 1 \text{ mCi}$ ) (이 때 嚴密한 意味는 아니나 化學的量도 비슷하다고 할 수 있음)하고 chelating agent의 種類에 따라 몰比率은 다르나  $\text{SnCl}_2$ 의 絶對量에는 큰 差異가 없기 때문이다. 即 주어진 反應條件下에서 만든 即席標識kit으로  $^{99m}\text{Tc}^{7+}$   $1 \sim 20\text{mCi}$ (+微量  $^{99m}\text{Tc}^{7+}$ )를 還元시키는데 必要한  $\text{SnCl}_2 \cdot 2\text{H}_2\text{O}$ 의 最少量은 대략  $500 \mu\text{g}$ 로 一定하기 때문이다. Chelating agent의 濃度가 增加되면 標

識收率이 向上됨으로 濃度를 어느程度 크게 해야하나 溶解度나 毒性等으로 量的 制約이 不可避한 경우도 있다. 따라서  $\text{SnCl}_2$ 를 使用하여  $^{99m}\text{Tc}$ 를 標識하려면 chelating agent의 量을 溶解度, 毒性等을 考慮하여 可能한限 늘리고 주어진 條件下에서 約  $500 \mu\text{g}$ 의  $\text{SnCl}_2$ 를 써서 反應시키는 것이 效果의이라고 본다.

近來  $\text{Sn}^{6+}$  錯物形成에 共參하는 것이 아니고 다만  $^{99m}\text{Tc}$ 錯物과  $\text{Sn}$ 錯物이 混合된다는 報告가 있다. L.L. Kamin<sup>3)</sup> 및 K. Horiuchi<sup>5)</sup> 等은  $\text{Sn}$ 錯物과  $^{99m}\text{Tc}$ 錯物의

混合을 防止하기 為하여  $S_n$  吸着이온交換樹脂를 bleomycin의  $^{99m}\text{Tc}$  標識反應에 使用하였으며 M.D.Loberg等<sup>6)</sup>도 HIDA- $^{99m}\text{Tc}$  錫化合物에  $S_n$  이 參與하지 않았음을 構造的으로 確認하였다. I.Ikeda等<sup>4)</sup>도 DMSA- $^{99m}\text{Tc}$  錫化合物生成反應에서  $S_n$  的 行動을 究明하기 為해  $^{113}\text{S}_n\text{Cl}_2$ 를 使用한 바 生成錫化合物의 腎臟 uptake가 增加함을  $^{99m}\text{Tc}$  放射能計測으로 確認할 수 있었으나  $^{113}\text{S}_n$ 의 放射能으로는 確認되지 않았고 거의一定하였다고 한다. 따라서 DMSA의  $^{99m}\text{Tc}$  標識 때에  $^{113}\text{S}_n$ 은 錫化合物形成에 共參하지 않는다고 主張하였다.

DMSA의 溶解度는 酸性水溶液에서 比較的 작아 5.4  $\mu\text{mole}/\text{ml}$  以下이었으므로 Table 1에서 보는 바와 같이 溶解度가 比較的 큰 PA의 濃度를 줄여서 DMSA의濃度와 비슷하게 하고 標識收得率을 比較한 바 PA濃度가 를 떠나 또는 DMSA의 경우보다도 標識收得率이減少하였다. 即 DMSA는 錫化能은 크나 溶解度가 작아서 結果的으로 標識收得率이 낮았다. 即 効果的標識을 為해서는 우선 溶解度가 커서 chelating agent의濃度를 크게 해야 한다는 것이前提條件이다.

溶解度가 크고 活性基를 가졌으면 가장 標識이 용이할 것이다.

大部分의 極性基를 가진 有機酸類는 酸性水溶液에서의 溶解度가 작으나 알칼리性水溶液에서는 增加할 것임으로 pH를 調節해 볼 必要가 있다.

W.C. Eckelman 등<sup>14)</sup>에 依하면 DTPA: $\text{S}_n\text{Cl}_2$ 의 물

比率 5:1에서 最大收率을 나타냈다고 하나 本研究의結果는 100:1임으로 같은 DTPA量에 比해  $\text{S}_n\text{Cl}_2$ 의量을 줄일 수 있었다. A.B. Sewatkar 등<sup>15)</sup>에 依하면 PA: $\text{S}_n\text{Cl}_2$  물比率 10:1인 때에 높은 收率을 보인다고 하나 本研究의結果에 依하면 20:1도 可能함으로 標識 tube當  $\text{S}_n\text{Cl}_2$ 量은 1/2로 줄일 수 있었다.

## 2) pH의 影響

Fig. 1이 보이는 바와 같이 어느 화합물이건 모두 알칼리性水溶液에서는 酸性水溶液에서 보다 標識收率이 낮았다. 알칼리性反應生成物의 85% MeOH ITLC에서  $^{99m}\text{Tc}^{7+}$ 가 檢出되지 않는 點으로 보아  $^{99m}\text{Tc}^{7+}$ 의還

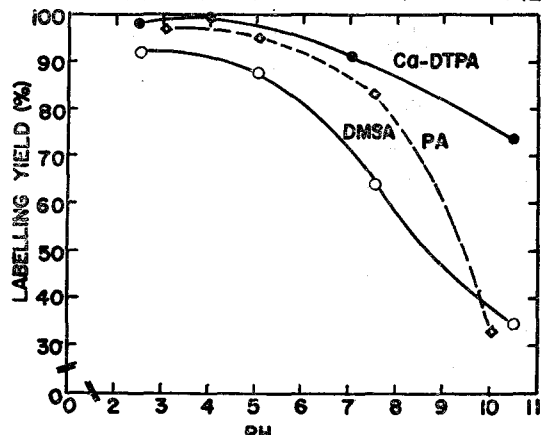


Fig. 1. Dependence of labelling yields upon pH.

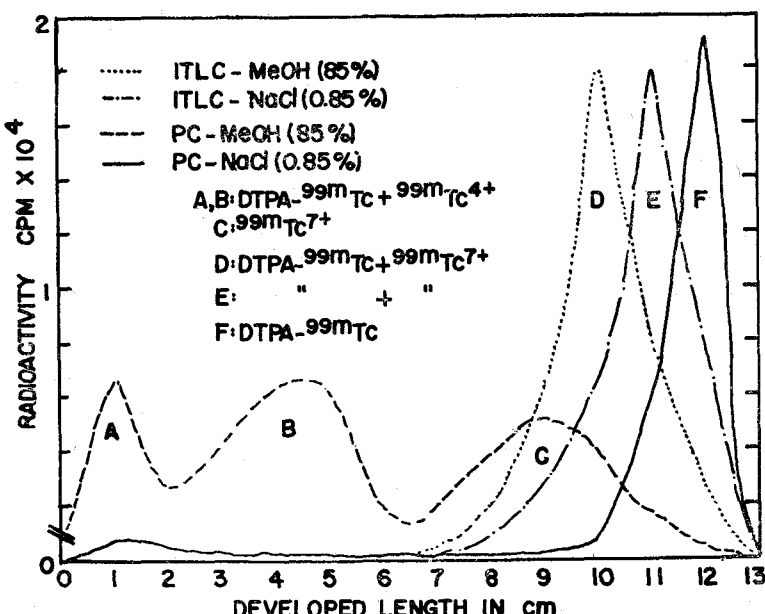


Fig. 2. Paper and thin layer chromatography of DTPA- $^{99m}\text{Tc}$  labelling mixture.

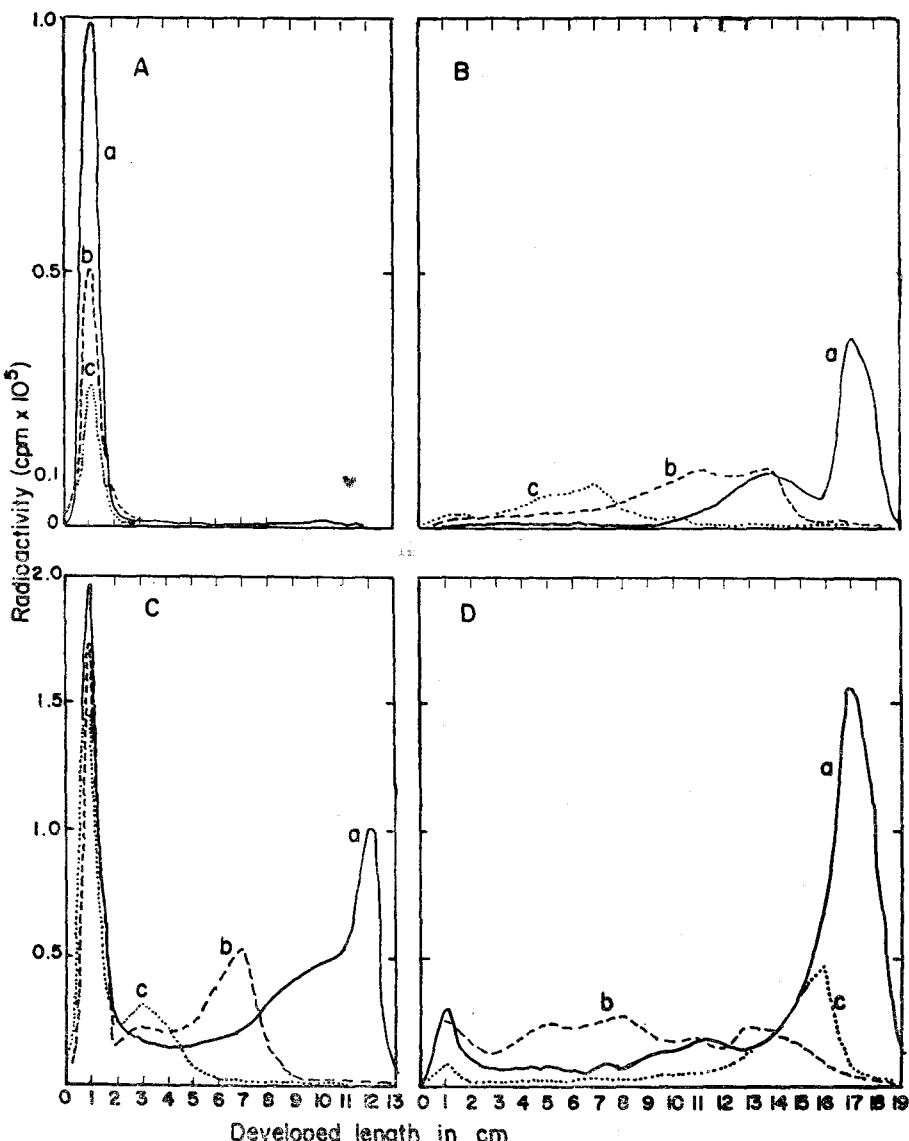


Fig. 3. Comparison of the chromatographical separation efficiencies between ITLC and PC (A; PA- $^{99m}$ Tc developed by 85% MeOH, B; PA- $^{99m}$ Tc, developed by 0.85% NaCl, C; DMSA- $^{99m}$ Tc, developed by 85% MeOH, D; DMSA- $^{99m}$ Tc developed by 0.85% NaCl, a; ITLC, b; PC, Whatman No. 1 paper (old), c; PC, Whatman No. 1 paper(new).

元에 미치는 pH의 影響은 뛰렷하지 않으나 0.85% NaCl ITLC에서는 點滴原點에서 방사능 피-크 即  $^{99m}$ Tc<sup>4+</sup>가 增加하는 事實로 보아 S<sub>n</sub>Cl<sub>2</sub> 또는 S<sub>n</sub>OHCl 等 不溶性 S<sub>n</sub> 콜로이드 生成의 알칼리性에서 많아지고  $^{99m}$ Tc<sup>4+</sup>가 여기에 吸着되는 關係로 標識收率의 低下를 招來한다고 생각된다.  $^{99m}$ Tc<sup>4+</sup>의 콜로이드 吸着과 chelating agent 와의 錫化合物 形成은 競爭的으로 일어 난다고 보는데 어느 쪽이 더 強力하게 作用하느냐의 問

題는 chelating agent에 固有한 것으로 보아야 할 것이다. 既報된 文獻에서도 Ca-DTPA는 pH4<sup>14</sup>, PA는 pH5<sup>15</sup>, DMSA는 pH2.5<sup>14</sup> 등 모두 酸性에서 標識이 容易한 것으로 되어있어 本研究에서의 結果와一致한다.

### 3) 分離 確認

85% MeOH 및 0.85% NaCl을 각각 使用하는 PC 나 ITLC에 依해 分離確認實驗을 한 結果를 Fig. 2 및

Table 2. Organ Distribution of Some  $^{99m}\text{Tc}$  and  $^{131}\text{I}$  Labelled Compounds

| Compound                                     | Organ distributions   |                   |                              |                        |                   |                              |                         |                   |
|--|-----------------------|-------------------|------------------------------|------------------------|-------------------|------------------------------|-------------------------|-------------------|
|  | Liver                 |                   |                              | Kidney                 |                   |                              | Bone                    |                   |
|  | cpm/g<br>tissue       | % cpm/g<br>tissue | % cpm/g ratio to<br>kidney** | cpm/g<br>tissue        | % cpm/g<br>tissue | % cpm/g ratio to<br>kidney** | cpm/g<br>tissue         | % cpm/g<br>tissue |
| <b>Ca-DTPA-<math>^{99m}\text{Tc}</math>*</b> |                       |                   |                              |                        |                   |                              |                         |                   |
| after 2 hrs.                                 | 93206<br>$\pm 37682$  | 1.49 $\pm 1.6$    | 0.437                        | 212624<br>$\pm 83129$  | 3.4 $\pm 1.3$     | 1                            | 31747<br>$\pm 3552$     | 0.5 $\pm 0.1$     |
| after 3 hrs.                                 | 76332<br>$\pm 23351$  | 1.22 $\pm 0.4$    | 0.622                        | 122321<br>$\pm 18850$  | 2.0 $\pm 0.8$     | 1                            | 25722<br>$\pm 10936$    | 0.4 $\pm 0.2$     |
| <b>DMSA-<math>^{99m}\text{Tc}</math>*</b>    |                       |                   |                              |                        |                   |                              |                         |                   |
| after 2 hrs.                                 | 194096<br>$\pm 29012$ | 3.11 $\pm 0.5$    | 0.267                        | 726956<br>$\pm 181476$ | 10 $\pm 3.0$      | 1                            | 1079546<br>$\pm 102724$ | 17 $\pm 2.0$      |
| after 3 hrs.                                 | 137134<br>$\pm 29490$ | 2.20 $\pm 0.5$    | 0.215                        | 637543<br>$\pm 82783$  | 10 $\pm 1.3$      | 1                            | 910946<br>$\pm 277929$  | 14 $\pm 4.5$      |
| after 6 hrs***                               | 265481<br>$\pm 30874$ | 5.10 $\pm 0.6$    | 0.21                         | 1296343<br>$\pm 84173$ | 24 $\pm 1.6$      | 1                            | 154587<br>$\pm 44163$   | 3.3 $\pm 0.9$     |
| Hippuran- $^{131}\text{I}$ #                 | 0.83                  | 0.27              |                              |                        | 3.0               | 1                            | 0.92                    | 0.30              |
| Phytic acid- $^{99m}\text{Tc}$ ##            | 12.5                  |                   |                              |                        | 1.14              |                              | 0.08                    |                   |

\* Administered by an intraperitoneal injection. The radiochemical purity of Ca-DTPA- $^{99m}\text{Tc}$  is 98%, and that of DMSA- $^{99m}\text{Tc}$  is 88%.

\*\* The ratio of the cpm/g tissue of the organ to that of kidney.

\*\*\* Administered by an intravenous injection of radiochemically pure(98%) DMSA- $^{99m}\text{Tc}$ (mostly complex 2).

# Fifteen minutes after an IV injection of the pure compound(97%).

## Thirty minutes after an IV injection of the pure compound(100%).

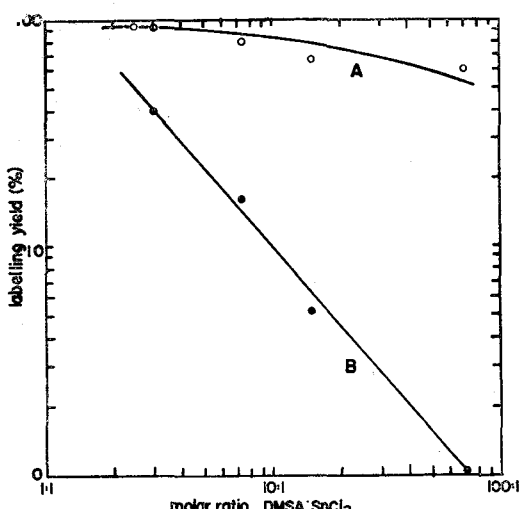


Fig. 4. Variation of labelling yield with molar ratios, DMSA: SnCl<sub>2</sub>(determined by ITLC using solvents A; acetone, B; 85% MeOH and 0.85% NaCl).

Fig. 3에 나타내었다.

Ca-DTPA- $^{99m}\text{Tc}$ 는 85%MeOH PC에서 원점에 남

지 않으며  $Rf \approx 0.2$ 까지 상승하였다. PC와 ITLC를 비교할 때 Ca-DTPA 때에는 PC가, PA나 DMSA 때에는 ITLC가 분리 효과로 보아 각각優秀하였다. 이를 두 가지 展開溶媒를 쓰는 PC나 ITLC는  $^{66m}\text{Tc}^{7+}$ 나  $^{99m}\text{Tc}^{4+}$ 等 두 가지 主要 放射性物質의 分離確認판을考慮할 때 通用될 수 있으나 生成錯化合物이 이들과 겹치거나 分離되지 않는 경우가 있음으로 各 標識化合物에 대해 確認해야함을 알 수 있었다.

Fig. 4에서 보는 바와 같이 DMSA- $^{99m}\text{Tc}$ 의 경우는 acetone을 展開溶媒로 使用하는 ITLC<sup>4)</sup>와 通常의 85% MeOH, 및 0.85% NaCl을 使用하는 ITLC 사이에 현격한 收率差를 나타내었다. 動物體內 分布結果로 보아 6時間後에는 24%가 腎臟에 集積됨으로 比較的 높은 放射化學純度를 가진 DMSA- $^{99m}\text{Tc}$ 로 생각되어 静注 6時間後에 腎臟內集積率이 既報된 文獻值<sup>4)</sup>(3時間後 20% dose g/tissue)보다 높다는 事實이 acetone溶媒에 依한 ITLC結果가 比較的 正確함을 말 해주고 있다.

#### 4) 動物體內 分布

Ca-DTPA- $^{99m}\text{Tc}$ , PA- $^{99m}\text{Tc}$ , DMSA- $^{99m}\text{Tc}$ 等의 생

취체내分布實驗結果를 Table 2에 要約하였다. Ca-DTPA- $^{99m}$ Tc는 腹腔注射 2時間後의 腎臟內 分布가 靜注 15分後의 Hippuran- $^{131}$ I의 腎臟內分布에 比해 相對的 으로 크므로 腎臟스캔에도 使用할 수 있다고 본다.

DMSA- $^{99m}$ Tc는 Complex 1 및 Complex 2의 두 形態가 알려져 있는데<sup>4)</sup> 本研究로 얻은 것은 Complex 2의 製造方法에 따른 것이다. 2時間 및 3時間後의 data는 DMSA- $^{99m}$ Tc의 放射化學的純度가 比較的 좋지 못한 것을 腹腔注射했을 경우이며 6時間後의 data는 比較的 高純度의 것을 靜注한 境遇이다. 後者の 경우 24 %cpm/g.tissue의 높은 腎臟內 分布率를 보이므로 此 文獻值(靜注 3時間後의 值) 20% cpm/g.tissue<sup>4)</sup>보다 높았다. phytic acid(PA)- $^{99m}$ Tc의 경우는 靜注 30分後 約 13% dose/g.tissue가 肝臟에 集積되었고 文獻值<sup>15)</sup>보다 多少 낮았다.

## 結論

- 1) Chelating agent濃度가 를 때 標識收率이 向上되었다.
- 2) Chelating agent와  $S_nCl_2$ 의 몰比率은 비록 Chelating agent의 종류에 따라 달라지나 그 몰比率 差異는 녹인 chelating agent의 量에 依해 變動되는 것 일 뿐  $S_nCl_2$ 의 바이알當 絶對量은 變化하지 않고 約 500  $\mu g$ 로 一定하였다.
- 3) 알칼리性에서 標識할 경우 標識收率이 低下되는 데 그 理由는 主로  $S_nCl_2$ 의 溶解度 減少에 起因한 콜로이드 生成量增加에 따라  $^{99m}$ Tc $^{4+}$ 의 콜로이드 吸着이 基化되기 때문이며  $^{99m}$ Tc $^{7+}$ 의 환원에 對한 영향은 거의 없었다.
- 4) 分離確認法은 chelating agent에 따라 달라져 야하며, Ca-DTPA- $^{99m}$ Tc는 85% MeOH, 0.85% NaCl, PC로, PA- $^{99m}$ Tc는 같은 溶媒에 依한 ITLC로, DMSA- $^{99m}$ Tc는 acetone ITLC로 실시할 경우 각각 좋은 分離를 보였다.
- 5) Ca-DTPA- $^{99m}$ Tc는 Hippuran- $^{131}$ I보다 腎臟集積率이 약간 높으며 PA- $^{99m}$ Tc는 靜注 30分後 20%dose/g.tissue에 이른다. 또 DMSA- $^{99m}$ Tc는 靜注 6時間後 約 25% dose/g. tissue에 이른다.

## 參考文獻

- 1) M. Tubis, W. Wolf: "Radiopharmacy" p.219, Wiley-Interscience, New York(1976).
- 2) W.C. Eckelman, G. Meinken and P. Richards: Chemical states of  $^{99m}$ Tc in Biomedical Products, J. Nucl. Med., 12, 596(1971).
- 3) L.L. Camin and M.P. Liteplo: Reductant Composition for  $^{99m}$ Tc and method for making  $^{99m}$ Tc Labelled Ligands, U.K. Pat. GB 2023327A (1979).
- 4) I. Ikeda, O. Inoue, and K. Kurata: Preparation of Various  $^{99m}$ Tc Dimercaptosuccinate Complexes and Their Evaluation as Radiotracers, J. Nucl. Med., 18, 1221(1977).
- 5) K. Horiuchi, A. Yokoyama, Y. Fujibayashi, H. Tanake, T. Odori, H. Saji, R. Morita, and K. Torijuka: Tin adsorbed Resin for the Preparation of  $^{99m}$ Tc Radiopharmaceuticals, Int'l J. Appl. Radiat. Isotopes, 32, 47(1981).
- 6) M.D. Loberg and A.T. Fields: Chemical structure of  $^{99m}$ Tc Labelled N-(2,6-dimethylphenylcarbamoylmethyl) iminodiacetic acid(Tc-HIDA), Int'l J. Appl. Radiat. Isotopes, 29, 167 (1978).
- 7) P.P. Benjamin: Reduced Perchinate-Metal Ion Complex, Int'l J. Appl. Radiat. Isotopes, 20, 187(1969).
- 8) J.R. Kim and O.D. Awh: Studies on the Formation of Pyrophosphate- $^{99m}$ Tc Complex, Korean J. Nucl. Med., 12(1), 19(1980).
- 9) L.G. Colmbetti, S. Moerlien, G.C. Patel and S.M. Pinsky: Rapid Determination of Oxidation State of Unbound  $^{99m}$ Tc and Labelling Yield in  $^{99m}$ Tc-Labelled Radiopharmaceuticals, J. Nucl. Med., 17, 805(1976).
- 10) W.C. Eckelman and P. Richards: Analytical Pitfalls with  $^{99m}$ Tc-Labelled Compounds, J. Nucl. Med., 13(3), 202(1972).
- 11) A.M. Zimmer and R.A. Holmes: A Precise Chromatography System for Specific Technetium-99 m Radiopharmaceuticals, Nucl. Med. (Stuttgart), 192(1975).

- 12) R.F. Gutkowski and H.J. Dworkin: *A Simplified Radiochromatographic Purity Check*, *J. Nucl. Med.*, 12(7), 513(1971).
- 13) M.K. Elson and R.B. Shafer: *Quality Assurance of <sup>99m</sup>Tc-Sn-Pyrophosphate*, *J. Nucl. Med.*, 17 (10), 918(1976).
- 14) W.C. Eckelman and P. Richards: *Instant <sup>99m</sup>Tc Compounds*, *Isotopes Radiat. Technol.*, 9(2), 160(1972).
- 15) A.B. Sewatkar, O.P.D. Noronha, R.D. Ganatra, and H.J. Glenn: *Some Aspects of the Radiopharmaceutics of <sup>99m</sup>Tc-Phytate*, *Nucl. Med.*, 14 (1), 46 (1975).